

Fot. 1.- Panorámica del escarpe occidental del edificio Famara constituido por un apilamiento de coladas basálticas.
Autor: J.A. Gómez

Edad: Mioceno



Fot. 10.- Detalle de la fotografía anterior, en la que se observa la fuerte alteración y ceolitización.

Autor: J.A. Gómez

Edad: Mioceno



Fot. 11.- Panorámica de los tramos medio y superior del edificio Famara, junto a la Galería.
Autor: J.A. Gómez

Edad: Mioceno



Fot. 12.- Panorámica de la ladera sur del barranco Chafaris. Almagres y conos enterrados en el tramo medio del edificio Famara.
Autor: J.A. Gómez

Edad: Mioceno



Fot. 13.- Conos enterrados (C) en la cabecera del barranco de Chafaris pertenecientes al tramo medio del edificio Famara. En la parte izquierda se observa la discordancia con el tramo superior (S).

Autor: J.A. Gómez

Edad: Mioceno-Plioceno



Fot. 14.- Apilamiento de coladas basálticas, con almagres y piroclastos intercalados, pertenecientes a los tramos medio (M) y superior (S) del edificio Famara.
Autor: J.A. Gómez
Edad: Mioceno-Plioceno



Fot. 15.- Panorámica de un cono piroclástico (C) del tramo medio del edificio Famara, en la carretera a Tabayesco. A la izquierda se observan las coladas del tramo superior (S).

Autor: J.A. Gómez

Edad: Mioceno-Plioceno



Fot. 16.- Cono piroclástico (C) en el Rincón de La Paja y discordancia con el tramo superior (S) del edificio Famara.

Autor: J.A. Gómez

Edad: Mioceno-Plioceno



Fot. 17.- Panorámica de los intrusivos (I) en la zona de La Triguera.
Autor: J.A. Gómez
Edad: Plioceno



Pot. 18.- Intrusivo basáltico en la ladera norte del barranco de Teneguime (I).
Autor: J.A. Gómez

Edad: Plioceno



Fot. 19.- Intrusivo basáltico en Peña Pequeña (I).
Autor: J.A. Gómez Edad: Plioceno



Fot. 2.- Panorámica del Rincón del Castillejo-Peñas del Chache. Apilamiento de coladas basálticas, con conos enterrados, de los tramos: inferior (I), medio (M) y superior (S) del Estratovolcán de Famara.

Autor: J.A. Gómez

Edad: Mioceno-Plioceno



Fot. 20.- Centro de emisión, en Peña del Pico, del que surge la colada "intracanyon" (C) del barranco de Teneguime.

Autor: J.A. Gómez

Edad: Cuaternario



Fot. 21.- Panorámica de la Caldera del Cuchillo constituida por depósitos hidromagnéticos. A la derecha de la fotografía se observa una colada (C) posterior que rellena el paleorrelieve.

Autor: J.A. Gómez

Edad: Cuaternario



Fot. 22.- Panorámica de la localidad de Sóo en la ladera del edificio Pico Colorado (P).
En segundo plano, se observa el edificio Caldera Trasera (T) o vértice Sóo.
Autor: J.A. Gómez
Edad: Cuaternario



Fot. 23.- Panorámica del edificio vértice Sóo constituido por capas de piroclastos rojizos. Al techo y, a la derecha, se observan coladas basálticas.
Autor: J.A. Gómez
Edad: Cuaternario



Fot. 24.- Panorámica del interior del cráter del vértice S60 con los depósitos de arenas eólicas adosados a las laderas.
Autor: J.A. Gómez

Edad: Cuaternario



Fot. 25.- Panorámica del interior del cráter de Montaña Mosta.

Autor: J.A. Gómez

Edad: Cuaternario



Fot. 26.- Panorámica de Montaña Mosta.

Autor: J.A. Gómez

Edad: Cuaternario



Fot. 27.- Contacto entre los depósitos hidromagmáticos (H) y estrombolianos (S) en el edificio Montaña Mosta.

Autor: J.A. Gómez

Edad: Cuaternario



Fot. 28.- Panorámica de Montaña Cervera constituida por piroclastos hidromagmáticos de color amarillento.
Autor: J.A. Gómez

Edad: Cuaternario



Fot. 29.- Edificio mixto de Montaña Caveras. Contacto entre los piroclastos hidromagmáticos y estrombolianos.

Autor: J.A. Gómez

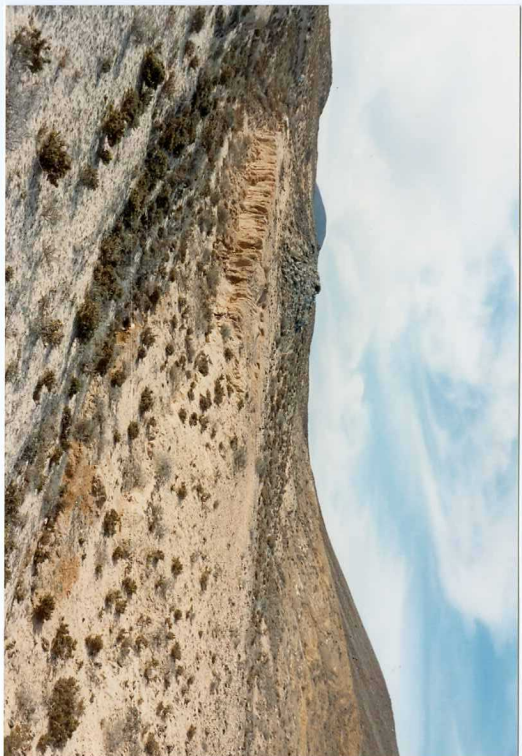
Edad: Cuaternario



Fot. 3.- Panorámica de los acantilados en el Rincón de Famara. En la parte inferior se observan conos enterrados atravesados por numerosos diques.

Autor: J.A. Gómez

Edad: Mioceno-Plioceno



Fot. 30.- Detalle de las arenas eólicas de color crema sobre los piroclastos hidromagmáticos de la Caldera del Cuchillo.

Autor: J.A. Gómez

Edad: Cuaternario



Fot. 31.- Panorámica de los depósitos de glacis-cono adosados al acantilado de Famara.
Autor: J.A. Gómez
Edad: Cuaternario



Fot. 32.- Panorámica de los depósitos de deslizamientos gravitacionales situados al pie del escarpe de Famara y seccionados por las barranqueras subsidiarias.

Autor: J.A. Gómez

Edad: Cuaternario



Fot. 33.- Detalle de los depósitos de la fotografía anterior con pasadas de arenas eólicas intercaladas.

Autor: J.A. Gómez

Edad: Cuaternario



Fot. 34.- Detalle de los depósitos de deslizamientos, muy heterométricos, en los que se observan bloques de varios metros cúbicos.

Autor: J.A. Gómez

Edad: Cuaternario



Fot. 35.- Panorámica de los depósitos de ladera adosados al escarpe del Risco de Famara.
Autor: J.A. Gómez

Edad: Mioceno-Cuaternario



Fot. 36.- Panorámica de los recubrimientos de arenas eólicas sobre las coladas de la
alineación de Sóo. Al fondo escarpe occidental de Famara.
Autor: J.A. Gómez Edad: Mioceno-Cuaternario



Fot. 37.- Depósitos de las rasas jandiense y erbanense sobre las coladas de la alineación de Sóo en la Caleta del Caballo.

Autor: J.A. Gómez

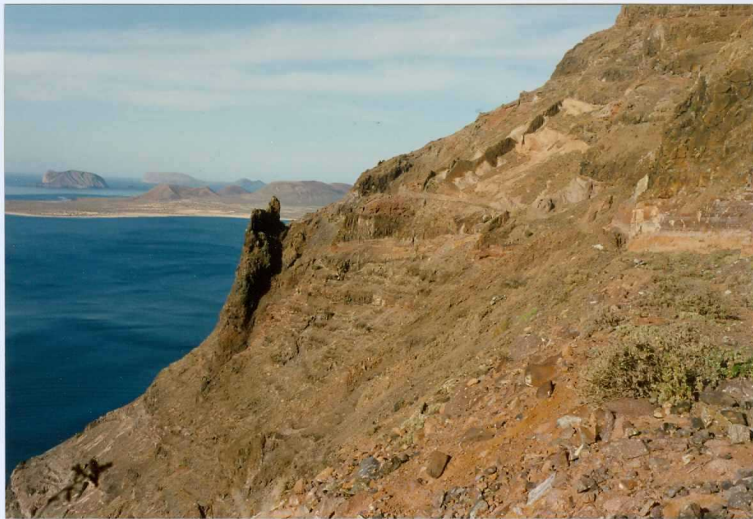
Edad: Cuaternario



Fot. 4.- Detalle del cono enterrado de la fotografía anterior. A techo se continúa el apilamiento de coladas basálticas miocenas del tramo inferior del edificio Famara.

Autor: J.A. Gómez

Edad: Mioceno



Fot. 5.- Panorámica del apilamiento de coladas con conos enterrados, atravesados por diques en el acantilado de Famara. Al fondo se observan los islotes de La Graciosa, Montaña Clara y Alegranza.

Autor: J.A. Gómez

Edad: Mioceno



Fot. 6.- Detalle del cono enterrado atravesado por numerosos diques de la fotografía anterior.

Autor: J.A. Gómez

Edad: Mioceno



Fot. 7.- Detalle del dique atravesando el apilamiento de coladas basálticas de la fotografía 5.

Autor: J.A. Gómez

Edad: Mioceno



Fot. 8.- Panorámica del apilamiento de coladas basálticas en la Punta de Gayo.
Autor: J.A. Gómez

Edad: Mioceno



Fot. 9.- Almagre en las coladas basálticas del Rincón de Famara.
Autor: J.A. Gómez

Edad: Mioceno